

МИНИСТЕРСТВО ОБРАЗОВАНИЯ РОССИЙСКОЙ ФЕДЕРАЦИИ
САМАРСКИЙ ГОСУДАРСТВЕННЫЙ УНИВЕРСИТЕТ

Кафедра математического моделирования в механике

Н.И.Клюев

**АСИМПТОТИЧЕСКИЕ МЕТОДЫ РЕШЕНИЯ УРАВНЕНИЙ
С ПОГРАНИЧНЫМ СЛОЕМ**

Учебное пособие к спецкурсу
для студентов механико-математического факультета

Издательство «Самарский университет»
2001

*Печатается по решению Редакционно-издательского совета
Самарского государственного университета*

УДК 621.396.6:536.248.2.001

ББК 22.253

К 521

Клюев Н.И. Асимптотические методы решения уравнений с пограничным слоем: Учебное пособие к спецкурсу для студентов механико-математического факультета.- Самара: Изд-во «Самарский университет», 2001.- 40с.

ISBN 5-86465-202-4

Данное учебное пособие является подробным изложением одноименного спецкурса кафедры математического моделирования в механике для специальности «Прикладная математика».

Предназначено для углубленного изучения спецкурса и выполнения курсовых и дипломных работ для студентов 4 - 5 курсов механико-математического факультета СамГУ.

Рецензент д-р физ.-мат.наук, проф. В.А.Соболев

ISBN 5-86465-202-4

© Клюев Н.И., 2001

© Изд-во «Самарский университет», 2001

Редактор Т.И.Кузнецова
Компьютерная верстка, макет Н.С.Комарова

ЛР №020316 от 04.12.96. Подписано в печать 27.03.01. Формат 60x84/16

Бумага офсетная. Печать офсетная. Усл.-печ.л.2.5.; уч.-изд.л.2.7.

Тираж 150 экз. Заказ № 607

Издательство «Самарский университет».443011, Самара, ул.Акад.Павлова, 1.
УОП СамГУ, ПЛД №67-43 от 19.02.98

СОДЕРЖАНИЕ

Введение	4
Глава 1. Метод сращиваемых асимптотических разложений	5
Глава 2. Течение газа в плоском канале с отсосом массы	9
Глава 3. Течение жидкости в прямоугольной канавке с переменным расходом массы при взаимодействии с внешним потоком газа	13
3.1. Интеграл нулевого приближения в виде линейной функции	15
3.2. Интеграл нулевого приближения в виде тригонометрической функции	17
3.3. Интеграл нулевого приближения в виде гиперболической функции	20
Глава 4. Течение газа в цилиндрическом канале с отсосом массы при больших поперечных числах Рейнольдса	22
Глава 5. Метод интегральных многообразий	26
5.1. Течение газа со вдувом массы в плоском канале	26
5.2. Течение жидкости в прямоугольной канавке с отсосом массы при взаимодействии с внешним потоком газа	32
Библиографический список	40

ВВЕДЕНИЕ

Известно, что характер движения жидкости и газа зависит от величины безразмерного параметра – числа Рейнольдса. Существует критическое значение числа Рейнольдса $Re=2300$, которое разделяет ламинарный и турбулентный режимы течения. Для $Re<2300$ течение является ламинарным, а для $Re>2300$ течение имеет турбулентный характер, $Re=2300$ характеризует переходный режим течения жидкости [1].

Число Рейнольдса выражается формулой $Re = \frac{Vd}{\nu}$ и характеризует отношение сил инерции к силам вязкости в потоке жидкости или газа (V – характерная скорость течения, d – характерный размер тела, ν – коэффициент кинематической вязкости). В области ламинарных течений можно выделить течения, где преобладают силы вязкости, в этом случае можно считать, что $Re \ll 1$, и течения, где преобладают силы инерции, тогда $Re \gg 1$.

Такая классификация не только отражает физические особенности течения, но и накладывает отпечаток на внешний вид дифференциальных уравнений, описывающих движение жидкости и газа. Будем рассматривать так называемые автомодельные течения в каналах различной формы, когда уравнения движения Навье-Стокса и уравнение неразрывности сводятся к обыкновенным дифференциальным уравнениям в полных производных.

Решения таких уравнений называют еще подобными, имея в виду, что профили продольных скоростей в различных поперечных сечениях канала отличаются лишь коэффициентом пропорциональности, т.е. являются подобными.

Для автомодельных течений с большим числом Рейнольдса ($Re \gg 1$) введем малый положительный параметр $\varepsilon = 1/Re$. Тогда уравнение движения будет иметь малый параметр при старшей производной [1]. Такое уравнение называется сингулярно-возмущенным. Решение сингулярно-возмущенных дифференциальных уравнений принципиально отличается от решения обыкновенных дифференциальных уравнений с малым параметром.

Сингулярно-возмущенные уравнения имеют медленные и быстрые переменные, роль которых обычно выполняют искомая функция и её первая производная. Методы возмущений с представлением решения в виде бесконечного степенного ряда по малому параметру не приводят к цели. Так как дифференциальное уравнение для нулевого приближения имеет порядок на единицу меньший, чем исходное дифференциальное уравнение, что не позволяет удовлетворить всем граничным условиям краевой задачи.

Решение сингулярно-возмущенного уравнения имеет область быстрого изменения функции, которая располагается, как правило, в окрестности одной (либо двух) граничных точек задачи. Такая область быстрого изменения функции называется областью математического пограничного слоя. Расположение математического пограничного слоя совпадает с гидродинамическим пограничным слоем.

Толщина пограничного слоя зависит от величины малого параметра, и при уменьшении малого параметра уменьшается и толщина пограничного слоя. Область интегрирования разбивается на внешнюю (вне пограничного слоя) и внутреннюю (внутри пограничного слоя).

Решение сингулярно-возмущенного уравнения ищется в виде решения пригодного для внешней области, которое затем уточняется в окрестности граничной точки, где располагается пограничный слой. Существуют различные методы решения таких уравнений. Рассмотрим на учебном примере один из методов – метод сращиваемых асимптотических разложений [2].

ГЛАВА 1. МЕТОД СРАЩИВАЕМЫХ АСИМПТОТИЧЕСКИХ РАЗЛОЖЕНИЙ

Имеем краевую задачу, записанную в безразмерном виде

$$\varepsilon y'' + (1 + \varepsilon^2)y' + (1 - \varepsilon^2)y = 0, \quad (1.1)$$

$$y(0) = \alpha, \quad y(1) = \beta, \quad (1.2)$$

где ε - малый, положительный параметр, $y = y(x, \varepsilon)$.

Дифференциальное уравнение (1.1) является сингулярно-возмущенным, так как малый параметр стоит при старшей производной, и его решение предполагает наличие математического пограничного слоя в окрестности одной (или двух) граничных точек.

Если заранее неизвестно, где располагается пограничный слой, то поступают следующим образом: назначают место расположения слоя произвольно и, если сращивание асимптотических разложений удастся осуществлять, то место выбрано правильно. В противном случае процедуру решения повторяют для другой точки.

Предположим, что пограничный слой располагается в окрестности граничной точки $x=0$. Общее решение дифференциального уравнения (1.1) ищется как составное: внешнее решение y^0 , которое удовлетворяет дифференциальному уравнению вне пограничного слоя, и внутреннее решение y^1 , пригодное внутри пограничного слоя.

Внешнее решение представим в виде бесконечного степенного ряда по малому параметру

$$y^0 = \sum_{n=0}^{\infty} y_n \cdot \varepsilon^n. \quad (1.3)$$

Подставим (1.3) в (1.1) и, ограничиваясь нулевым и первым приближением, запишем:

$$\text{нулевое} \quad y_0' + y_0 = 0, \quad y_0(1) = \beta \quad (1.4)$$

$$\text{и первое приближения} \quad y_1' + y_1 = -y_0'', \quad y_1(1) = 0. \quad (1.5)$$

Решение для нулевого приближения имеет вид $y_0 = \beta e^{1-x}$. Решение для дифференциального уравнения (1.5) ищется как сумма общего решения соответствующего однородного уравнения и частного решения неоднородного уравнения. С учетом граничных условий внешнее разложение примет вид

$$y^0 = \beta e^{1-x} + \varepsilon \beta (1-x) e^{1-x}. \quad (1.6)$$

Найдем внутреннее разложение в области пограничного слоя. Для этого введем в рассмотрение растягивающую координату в окрестности точки $x = 0$, т.е. $\xi = x/\varepsilon$. Запишем уравнение (1.1) для новой координаты, при этом учтем следующие соотношения:

$$\frac{d}{dx} = \frac{1}{\varepsilon} \frac{d}{d\xi}, \quad \frac{d^2}{dx^2} = \frac{1}{\varepsilon^2} \frac{d^2}{d\xi^2}, \quad (1.7)$$

получим

$$\frac{\varepsilon}{\varepsilon^2} \frac{d^2 y}{d\xi^2} + \frac{1 + \varepsilon^2}{\varepsilon} \frac{dy}{d\xi} + (1 - \varepsilon^2) y = 0.$$

Переобозначим для краткости $\frac{dy}{d\xi} = y'$, $\frac{d^2 y}{d\xi^2} = y''$, тогда дифференциальное уравнение примет вид

$$y'' + (1 + \varepsilon^2) y' + \varepsilon(1 - \varepsilon^2) y = 0, \quad y(0) = \alpha. \quad (1.8)$$

Общее решение уравнения (1.8) вновь ищем в виде ряда $y = y_0 + \epsilon y_1 + \dots$. После подстановки ряда в уравнение (1.8) и группировки слагаемых при одинаковых степенях малого параметра получим:

$$\text{нулевое} \quad y_0'' + y_0' = 0, \quad y_0(0) = \alpha \quad (1.9)$$

$$\text{и первое приближения} \quad y_1'' + y_1' = -y_0, \quad y_1(0) = 0. \quad (1.10)$$

Запишем решение для уравнения (1.9) $y_0 = \alpha - B_0 + B_0 e^{-\xi}$, где B_0 - константа интегрирования. С учетом нулевого приближения уравнение (1.10) переписывается

$$y_1'' + y_1' = -\alpha + B_0 - B_0 e^{-\xi}, \quad y_1(0) = 0,$$

тогда его решение примет вид

$$y_1 = -B_1 + B_1 e^{-\xi} - (\alpha - B_0)\xi + B_0 \xi e^{-\xi},$$

где $B_1 = \text{const}$. И окончательно получим внутреннее решение для области граничного слоя

$$y' = \alpha - B_0 + B_0 e^{-\xi} + \epsilon [-B_1 + B_1 e^{-\xi} - (\alpha - B_0)\xi + B_0 \xi e^{-\xi}], \quad (1.11)$$

где константы интегрирования B_0 и B_1 определяются из условия срачивания внутреннего и внешнего решений.

Выполним срачивание внутреннего и внешнего решений по методу Ван-Дайка [2]. Для чего перейдем в уравнении (1.6) к растягивающей координате $\xi = x/\epsilon$

$$y^0 = \beta e^{1-\epsilon\xi} + \epsilon\beta(1 - \epsilon\xi)e^{1-\epsilon\xi}. \quad (1.12)$$

Используем разложение слагаемых уравнения (1.12) в ряд по малому параметру ϵ при фиксированной координате ξ

$$e^{-\epsilon\xi} = 1 - \epsilon\xi + \frac{\epsilon^2 \xi^2}{2!} - \dots$$

И, сохраняя в (1.12) величины до первого порядка малости, запишем так называемое внешнее-внутреннее разложение на границе слоя

$$(y^0)' = \beta e + \varepsilon \beta e(1 - \xi).$$

Возвращаясь к старой переменной x , получим внешнее-внутреннее разложение

$$(y^0)' = \beta e - \beta e x + \varepsilon \beta e. \quad (1.13)$$

Найдем внутреннее-внешнее разложение, для чего перейдем в уравнении (1.11) к переменной x

$$y' = \alpha - B_0 + B_0 e^{-x/\varepsilon} + \varepsilon \left[-B_1 + B_1 e^{-x/\varepsilon} - (\alpha - B_0) \frac{x}{\varepsilon} + \frac{x}{\varepsilon} B_0 e^{-x/\varepsilon} \right]. \quad (1.14)$$

Выполним разложение слагаемых в (1.14) при малых ε и фиксированных значениях x . Для чего вычислим следующие пределы:

$$\lim_{\varepsilon \rightarrow 0} e^{-x/\varepsilon} = 0, \quad \lim_{\varepsilon \rightarrow 0} \frac{e^{-x/\varepsilon}}{\varepsilon} = \lim_{x \rightarrow \infty} x \cdot e^{-x} = \lim_{x \rightarrow \infty} \frac{x}{e^x} = \lim_{x \rightarrow \infty} \frac{1}{e^x} = 0,$$

и уравнение (1.14) переписется в виде внутреннего-внешнего разложения

$$(y^1)' = \alpha - B_0 - (\alpha - B_0)x - \varepsilon B_1. \quad (1.15)$$

Для срачивания внешнего-внутреннего и внутреннего-внешнего разложений приравняем выражения (1.13) и (1.15)

$$\beta e - \beta e x + \varepsilon \beta e = \alpha - B_0 - (\alpha - B_0)x - \varepsilon B_1. \quad (1.16)$$

Затем, приравнявая в (1.16) коэффициенты при одинаковых степенях малого параметра, найдем $B_0 = \alpha - \beta e$, $B_1 = -\beta e$

Выражение для внешнего разложения (1.12) и внутреннего разложения (1.14) представляют собой два отдельных решения, а именно: разложение y^0 пригодно везде, за исключением окрестности точки $x=0$; и разложение y^1 пригодно только в окрестности этой точки. Области пригодности разложений y^0 и y^1 перекрываются.

Для получения общего решения задачи, которое могло бы быть использовано на всем промежутке интегрирования, необходимо переключаться с одного разложения на другое в точке x_0 . Однако значение x_0 точно не известно. Для того чтобы преодолеть указанное затруднение, из полученных разложений строят, так называемое, составное решение

$$y = y^0 + y' - (y^0)' = \beta e^{1-x} + (\alpha - \beta e) e^{-x} + \varepsilon [\beta(1-x)e^{1-x} - \beta e^{1-x} + (\alpha - \beta e)\xi e^{-x}] + \dots, \quad (1.17)$$

которое и является приближенным решением для данной краевой задачи.

В дальнейшем будем рассматривать сингулярно-возмущенные уравнения движения на примере уравнений движения для пара и жидкости в тепловой трубе [3-5].

ГЛАВА. 2. ТЕЧЕНИЕ ГАЗА В ПЛОСКОМ КАНАЛЕ С ОТСОСОМ МАССЫ

Рассмотрим течение газа в плоском канале с равномерным отсосом массы (конденсатор тепловой трубы). Пусть ширина канала значительно превосходит его высоту. В этом случае краевыми эффектами можно пренебречь и принять течение за плоское. Воспользуемся моделью ламинарного течения вязкой, несжимаемой жидкости при больших поперечных числах Рейнольдса. Для выполнения этих условий считаем, что числа Рейнольдса $Re_0 < 2300$, $Re \gg 1$, а число Маха $M < 0,3$.

При равномерном по длине канала отсосе массы задача сводится к автомодельной, и в безразмерном виде краевая задача для продольной и поперечной скоростей запишется в виде [7]

$$\bar{V} = \left(\frac{L}{b} - \bar{y} \right) \bar{W}', \quad (2.1)$$

$$\varepsilon \bar{W}''' + \bar{W}'^2 - \bar{W} \cdot \bar{W}'' = k, \quad \bar{W} = \bar{W}(\bar{z}), \quad (2.2)$$

$$\bar{z} = 0, \quad \bar{W} = 0, \quad \bar{W}'' = 0, \quad (2.3)$$

$$\bar{z} = 1, \quad \bar{W} = 1, \quad \bar{W}' = 0, \quad (2.4)$$

где обозначения соответствуют ранее принятым [5], L - длина канала, $2b$ - высота канала, $\bar{z} = z/b$, $\bar{y} = y/b$ - безразмерные поперечная и продольная координаты, $\bar{W} = W/W_u$, $\bar{V} = V/W_u$ - безразмерные поперечная и продольная скорости в канале, $k = \text{const}$, $\varepsilon = 1/Re$, W_u - скорость ддува массы, Re_0 и Re - соответственно продольное и поперечное числа Рейнольдса [5].

Будем искать внешнее решение для поперечной скорости в виде нулевого приближения

$$\overline{W}_0'^2 - \overline{W}_0' \cdot \overline{W}_0'' = k, \quad (2.5)$$

$$\overline{z} = 0, \quad \overline{W}_0 = 0, \quad \overline{W}_0'' = 0, \quad (2.6)$$

$$\overline{z} = 1, \quad \overline{W}_0 = 1, \quad \overline{W}_0' = 0. \quad (2.7)$$

Одним из решений нелинейного дифференциального уравнения (2.5) является функция $\overline{W}_0 = A \cdot \text{sh} \overline{z}$, в чем можно убедиться непосредственной подстановкой, при $k = A^2$. При этом граничные условия (2.6) тождественно выполняются. Из граничных условий (2.7) может быть выполнено лишь первое условие, откуда $A = \frac{2e}{e^2 - 1}$.

Граничное условие $\overline{z} = 1, \overline{W}_0' = 0$ не выполняется. Следовательно, можно сделать вывод о наличии пограничного слоя в окрестности точки $\overline{z} = 1$. Разобьем область интегрирования на две части: внешнюю $0 \leq \overline{z} \leq \overline{z}_0$ и внутреннюю $\overline{z}_0 \leq \overline{z} \leq 1$, где \overline{z}_0 характеризует границу слоя. Таким образом, внешнее решение для нулевого приближения будет иметь вид

$$\overline{W}^0 = \frac{e}{e^2 - 1} (e^{\overline{z}} - e^{-\overline{z}}), \quad 0 \leq \overline{z} \leq \overline{z}_0. \quad (2.8)$$

Для нахождения внутреннего решения введем растягивающую координату в окрестности точки $\overline{z} = 1$, а именно $\xi = \frac{1 - \overline{z}}{\varepsilon}$. Для новой переменной уравнение движения (2.2) переписется

$$-\overline{W}''' + \overline{W}'^2 - \overline{W} \cdot \overline{W}'' = \varepsilon^2 k, \quad \text{где} \quad \overline{W} = \overline{W}(\xi). \quad (2.9)$$

Пренебрегая величиной второго порядка малости в уравнении (2.9), получим краевую задачу в области пограничного слоя

$$\overline{W}''' - \overline{W}'^2 + \overline{W} \cdot \overline{W}'' = 0, \quad (2.10)$$

$$\xi = 0, \quad \overline{W} = 1, \quad \overline{W}' = 0, \quad (2.11)$$

где $0 \geq \xi \geq \xi_0, \xi_0 = \frac{1 - \overline{z}_0}{\varepsilon}, \overline{W} = \overline{W}(\xi), \overline{W}' = \frac{d\overline{W}}{d\xi}, \overline{W}'' = \frac{d^2\overline{W}}{d\xi^2}, \overline{W}''' = \frac{d^3\overline{W}}{d\xi^3}$.

Найти аналитическое решение уравнения (2.10) не удастся. Поэтому воспользуемся тем обстоятельством, что толщина пограничного слоя является величиной порядка малого параметра ε . Будем считать, что граничные условия (2.11) приближенно выполняются во всем диапазоне $0 \geq \xi \geq \xi_0$. При этом вносимая погрешность будет тем меньше, чем тоньше погра-

ничный слой. Подставим (2.11) в (2.10), тогда краевая задача переписывается в виде

$$\overline{W}''' + \overline{W}'' = 0, \quad (2.12)$$

$$\xi = 0, \quad \overline{W} = 1, \quad \overline{W}' = 0. \quad (2.13)$$

Интегралом уравнения (2.12) является функция

$$\overline{W} = C_1 e^{-\xi} + C_2 \xi + C_3,$$

где C_2, C_3 -константы интегрирования, определяемые из граничных условий (2.13) через константу C_1 .

С учетом найденных констант интегрирования запишем решение для внутренней области пограничного слоя

$$\overline{W}' = C_1 e^{-\xi} + C_1 \xi - C_1 + 1, \quad \xi_0 \leq \xi \leq 0. \quad (2.14)$$

Оставшуюся константу C_1 определим из условия сращивания внешнего и внутреннего решений по методу Ван-Дайка.

Выполним процесс сращивания. Для этой цели необходимо построить пределы $(\overline{W}^0)'$ и $(\overline{W}^1)'$ на границе слоя. Для этой цели перейдем во внешнем решении (2.8) к растягивающей координате

$$\overline{W}^0 = \frac{e}{e^2 - 1} (e^{1-\epsilon\xi} - e^{\epsilon\xi-1}). \quad (2.15)$$

Воспользуемся разложением по малому параметру в ряд Маклорена при фиксированной координате ξ следующих функций:

$$e^{-\epsilon\xi} = 1 - \epsilon\xi + \frac{\epsilon^2 \xi^2}{2!} - \dots, \quad e^{\epsilon\xi} = 1 + \epsilon\xi + \frac{\epsilon^2 \xi^2}{2!} + \dots$$

и, ограничиваясь величинами нулевого и первого порядка малости, подставим полученные разложения в (2.15). Возвращаясь к первоначальной координате, найдем внешнее-внутреннее разложение в окрестности точки $\bar{z} = \bar{z}_0$

$$(\overline{W}^0)' = \frac{e^2 + 1}{e^2 - 1} \bar{z} - \frac{2}{e^2 - 1}. \quad (2.16)$$

Для нахождения внутреннего-внешнего разложения перейдем в (2.14) к координате \bar{z} и оценим слагаемые решения

$$(\bar{W}')^0 = C_1 e^{\frac{z-1}{\varepsilon}} + \frac{C_1}{\varepsilon} - \frac{C_1 \bar{z}}{\varepsilon} - C_1 + 1. \quad (2.17)$$

Поскольку в области пограничного слоя $\bar{z} - 1 < 0$ и по нашему предложению $|\bar{z}_0 - 1| \sim \varepsilon$, то $C_1 e^{\frac{z-1}{\varepsilon}} \ll \frac{C_1}{\varepsilon}$, кроме того, $C_1 \ll \frac{C_1}{\varepsilon}$. В этом случае (2.17) переписывается в виде

$$(\bar{W}')^0 = -\frac{C_1}{\varepsilon} \bar{z} + \frac{C_1}{\varepsilon} + 1. \quad (2.18)$$

Приравняем правые части выражений (2.16) и (2.18)

$$\frac{e^2 + 1}{e^2 - 1} \bar{z} - \frac{2}{e^2 - 1} = -\frac{C_1}{\varepsilon} \bar{z} + \frac{C_1}{\varepsilon} + 1. \quad (2.19)$$

Для выполнения равенства (2.19) необходимо приравнять коэффициенты при \bar{z} . Откуда $C_1 = \varepsilon \frac{e^2 + 1}{1 - e^2}$. Равенство свободных членов дает значение константы $C_1 = \varepsilon \frac{e^2 + 1}{1 - e^2}$. Одинаковое значение константы C_1 говорит о том, что получено самосогласованное решение, и наше предположение о толщине пограничного слоя $1 - z_0 = \varepsilon$ является верным.

Общее решение задачи записывается как составное

$$\bar{W} = \bar{W}^0 + \bar{W}^1 - (\bar{W}^0)' = \frac{2e}{e^2 - 1} \text{sh} \bar{z} + \varepsilon \frac{e^2 + 1}{1 - e^2} \left(e^{\frac{z-1}{\varepsilon}} - 1 \right). \quad (2.20)$$

Таким образом, сращивание удалось выполнить, и мы получили решение для поперечной скорости течения. Выражение для продольной скорости найдем в соответствии с (2.1) и (2.20), тогда

$$\bar{V} = \left(\frac{2e}{e^2 - 1} \text{ch} \bar{z} - \frac{e^2 + 1}{e^2 - 1} e^{\frac{z-1}{\varepsilon}} \right) \left(\frac{L}{b} - \bar{y} \right). \quad (2.21)$$

Можно убедиться, что граничные условия краевой задачи (2.2)-(2.4) выполняются с точностью до первого порядка малости.

Построим эпюры для поперечной и продольной скоростей в соответствии с формулами (2.20) и (2.21).

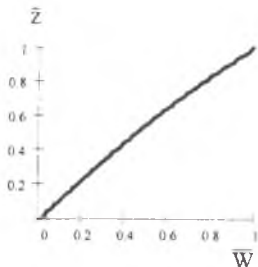


Рис.2.1. Безразмерное распределение поперечной скорости по высоте канала

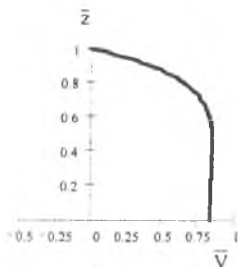


Рис. 2.2. Безразмерное распределение продольной скорости по высоте канала при $\bar{y} = 1$

Из графика (рис.2.1) видно, что функция $\bar{W}(\bar{z})$ является медленной переменной, а функция $\bar{V}(\bar{y}, \bar{z})$ (рис.2.2) имеет область быстрого изменения в окрестности точки $\bar{z} = 1$, где располагается пограничный слой. На оси канала в точке $\bar{z} = 0$ касательная к функции $\bar{V}(\bar{y}, \bar{z})$ составляет с осью \bar{z} угол $\alpha=0$, что соответствует условию максимальной продольной скорости на оси симметрии потока. Знак «+» у продольной скорости означает, что направление потока совпадает с направлением оси y .

ГЛАВА 3. ТЕЧЕНИЕ ЖИДКОСТИ В ПРЯМОУГОЛЬНОЙ КАНАВКЕ С ПЕРЕМЕННЫМ РАСХОДОМ МАССЫ ПРИ ВЗАИМОДЕЙСТВИИ С ВНЕШНИМ ПОТОКОМ ГАЗА

Краевая задача, в безразмерном виде, о течении жидкости в прямоугольной канавке со вдувом или отсосом массы имеет следующий вид [6]:

$$\varepsilon \bar{W}''' + \bar{W}'^2 - \bar{W} \bar{W}'' = k, \quad (3.1)$$

$$\bar{z} = 0, \quad \bar{W} = 0, \quad \bar{W}' = 0, \quad (3.2)$$

$$\bar{z} = 1, \quad \bar{W} = \pm 1, \quad \bar{W}'' = \bar{\tau}, \quad (3.3)$$

где $\bar{W} = \bar{W}(\bar{z})$ - поперечная составляющая скорости, знак «+» в граничном условии (3.3) соответствует течению с отсосом массы (испаритель тепловой трубы), знак «-» соответствует течению со вдувом массы (конденсатор тепловой трубы).

Выражение для продольной составляющей скорости для течения с отсосом массы (испаритель тепловой трубы) запишем в виде

$$\bar{V} = -\bar{y} \bar{W}', \quad (3.4)$$

и выражение для продольной составляющей скорости для течения со вдувом массы (конденсатор тепловой трубы)

$$\bar{V} = \left(\frac{L}{b} - \bar{y}\right) \bar{W}'. \quad (3.5)$$

Величина $\bar{\tau}$ в граничном условии (3.3) характеризует напряжение трения на поверхности раздела фаз между жидкостью и внешним потоком газа. Трение задается из решения внешней задачи. Рассматриваются три варианта взаимодействия между жидкостью и газом:

$\bar{\tau} < 0$ - встречное движение жидкости и газа;

$\bar{\tau} > 0$ - движение жидкости и газа в одном направлении;

$\bar{\tau} = 0$ - при отсутствии контакта между жидкостью и газом.

Для решения краевой задачи (3.1)-(3.3) воспользуемся методом прямого сращивания асимптотических разложений. Будем искать внешнее решение вне области пограничного слоя и внутреннее решение в области пограничного слоя.

Внешнее решение найдем в виде нулевого приближения уравнения (3.1) по степеням малого параметра

$$\bar{W}_0'^2 - \bar{W}_0 \bar{W}_0'' = k, \quad (3.6)$$

$$\bar{z} = 0, \quad \bar{W}_0 = 0, \quad \bar{W}_0' = 0, \quad (3.7)$$

$$\bar{z} = 1, \quad \bar{W}_0 = \pm 1, \quad \bar{W}_0'' = \bar{\tau}. \quad (3.8)$$

Уравнение движения (3.6) представляет собой нелинейное дифференциальное уравнение второго порядка и его интегралами могут быть несколько функций.

Рассмотрим решения уравнения (3.6) в виде линейной функции $\bar{W}_0 = A \bar{z}$, тригонометрической функции $\bar{W}_0 = A \sin \frac{\pi}{2} \bar{z}$ и гиперболической функции $\bar{W}_0 = A \operatorname{sh} \bar{z}$ [8]. Легко убедиться простой подстановкой, что указанные функции могут удовлетворять граничным условиям (3.8) и ни при каких обстоятельствах не удовлетворяют второму граничному условию (3.7) $\bar{z} = 0, \bar{W}_0' = 0$. Следовательно, можно сделать вывод, что в окрестности точки $\bar{z} = 0$ у стенки канала располагается пограничный слой. Для получения решения краевой задачи (3.1)...(3.3) разобьем область интегрирования на внутреннюю и внешнюю. Рассмотрим различные варианты внешних решений.

3.1. Интеграл нулевого приближения в виде линейной функции

Полагая решение уравнения (3.6) в виде $\bar{W}_0 = A \bar{z}$, удовлетворим граничным условиям при $\bar{z} = 1$. Откуда получим $A = \pm 1$ при $k = 1$ и напряжении трения $\bar{\tau} = 0$. Такое решение соответствует течению жидкости в прямоугольной канавке с переменным расходом массы без взаимодействия между жидкостью и газом.

Итак, внешнее решение примет вид

$$\bar{W}^0 = \pm \bar{z}, \quad \bar{z}_0 \leq \bar{z} \leq 1, \quad (3.9)$$

где \bar{z}_0 - толщина пограничного слоя

Найдем внутреннее решение в области пограничного слоя, для чего преобразуем уравнение движения (3.1) с учетом граничного условия (3.2). По определению величина пограничного слоя мала, следовательно координата $\bar{z}_0 \ll 1$. Считаем, что граничные условия (3.2) выполняются во всем диапазоне внутренней области, тогда, подставляя (3.2) в уравнение движения (3.1), получим краевую задачу

$$\epsilon \bar{W}'' = k, \quad (3.10)$$

$$\bar{z} = 0, \quad \bar{W} = 0, \quad \bar{W}' = 0. \quad (3.11)$$

Решением уравнения (3.10) является функция

$$\bar{W} = \frac{k \bar{z}^3}{6\epsilon} + \frac{C_1 \bar{z}^2}{2} + C_2 \bar{z} + C_3.$$

Константы интегрирования C_2 и C_3 найдем, удовлетворяя граничным условиям (3.11). Тогда $C_2 = C_3 = 0$, и решение переписется в виде

$$\bar{W} = \frac{k \bar{z}^3}{6\epsilon} + \frac{C_1 \bar{z}^2}{2}, \quad 0 \leq \bar{z} \leq \bar{z}_0. \quad (3.12)$$

Оставшаяся константа C_1 и толщина пограничного слоя \bar{z}_0 определяются из условий прямого сращивания внешнего и внутреннего решений. Для сращивания потребуем в точке \bar{z}_0 равенства функций, а также их первых производных для внешнего и внутреннего решений

$$\left. \begin{aligned} \pm \bar{z}_0 &= \frac{\bar{z}_0^3}{6\varepsilon} + \frac{C_1 \bar{z}_0^2}{2}, \\ \pm 1 &= \frac{\bar{z}_0^2}{2\varepsilon} + C_1 \bar{z}_0. \end{aligned} \right\}$$

Откуда $C_1 = \pm \frac{1}{\bar{z}_0} - \frac{\bar{z}_0}{2\varepsilon}$, а толщина пограничного слоя определится формулой

$$\pm \frac{3\varepsilon}{2} = -\bar{z}_0^2, \quad \text{где } \varepsilon > 0. \quad (3.13)$$

Для того чтобы удовлетворить уравнению (3.13), необходимо отбросить в (3.13) знак «+». Тогда $\bar{z}_0 = \sqrt{\frac{3\varepsilon}{2}}$ соответствует течению жидкости в прямоугольной канавке со вдувом массы (конденсатор тепловой трубы). И константа интегрирования примет вид $C_1 = \frac{1,43}{\sqrt{\varepsilon}}$.

Окончательно решение задачи для течения жидкости в прямоугольной канавке со вдувом массы запишется в виде внешнего и внутреннего решения

$$\bar{W}^0 = -\bar{z}, \quad \bar{z}_0 \leq \bar{z} \leq 1, \quad (3.14)$$

$$\bar{W}^1 = \frac{\bar{z}^3}{6\varepsilon} - \frac{0,7 \cdot \bar{z}^2}{\sqrt{\varepsilon}}, \quad 0 \leq \bar{z} \leq \bar{z}_0. \quad (3.15)$$

Формулы (3.14), (3.15) дают зависимость для поперечной скорости в прямоугольной канавке. Профиль продольной скорости определим в соответствии с (3.5):

$$\bar{V}^0 = -1 \left(\frac{L}{b} - \bar{y} \right), \quad \bar{z}_0 \leq \bar{z} \leq 1, \quad (3.16)$$

$$\bar{V}^1 = \left(\frac{\bar{z}^2}{2\varepsilon} - \frac{1,4\bar{z}}{\sqrt{\varepsilon}} \right) \left(\frac{L}{b} - \bar{y} \right), \quad 0 \leq \bar{z} \leq \bar{z}_0. \quad (3.17)$$

Построим эпюры для поперечной и продольной скоростей в соответствии с формулами (3.16) и (3.17).

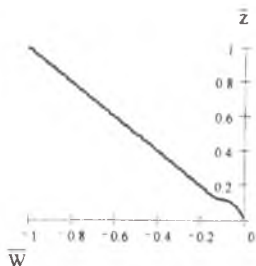


Рис.3.1. Безразмерное распределение поперечной скорости по высоте канала

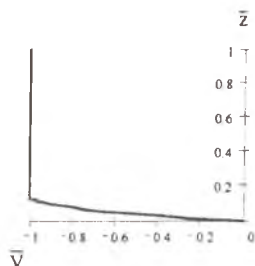


Рис. 3.2. Безразмерное распределение продольной скорости по высоте канала при $\bar{y} = 1$

Из графиков (рис.3.1,3.2) видно, что в окрестности точки $\bar{z} = 0$ располагается пограничный слой. Касательная в точке $\bar{z} = 1$ на графике функции $\bar{V}(\bar{z})$ (рис.3.2) составляет с осью \bar{z} угол $\alpha=0$, что соответствует максимальной продольной скорости на поверхности жидкости в прямоугольной канавке. Знак «-» у продольной скорости означает, что направление потока противоположно оси y .

3.2. Интеграл нулевого приближения в виде тригонометрической функции

Решение задачи рассмотрим для течения жидкости в прямоугольной канавке с отсосом массы (испаритель тепловой трубы). Пусть $\bar{W}_0 = A \sin \frac{\pi}{2} \bar{z}$, тогда, удовлетворяя граничным условиям (3.7), найдем $k = \frac{\pi^2}{4}$, $A = 1$. Пограничный слой по-прежнему располагается в окрестности точки $\bar{z} = 0$.

Из граничного условия (3.3) следует, что $\bar{\tau} = -\frac{\pi^2}{4} < 0$, следовательно решение соответствует взаимодействию встречных потоков жидкости и газа. Такое решение можно назвать феноменологическим. Внешнее решение задачи запишем в виде

$$\bar{W}^0 = \sin \frac{\pi}{2} \bar{z}, \quad \bar{z}_0 \leq \bar{z} \leq 1. \quad (3.18)$$

Внутреннее решение в области пограничного слоя совпадает с (3.12):

$$\bar{W} = \frac{k \bar{z}^3}{6\epsilon} + \frac{C_1 \bar{z}^2}{2}, \quad 0 \leq \bar{z} \leq \bar{z}_0. \quad (3.19)$$

Выполним сращивание решений (3.18) и (3.19), для чего приравняем функции и их производные в точке $\bar{z} = \bar{z}_0$. Тогда

$$\left. \sin \frac{\pi}{2} \cdot \bar{z}_0 = \frac{k \cdot \bar{z}_0^3}{6\epsilon} + \frac{C_1 \bar{z}_0^2}{2}, \right\} \quad (3.20)$$

$$\left. \frac{\pi}{2} \cos \frac{\pi}{2} \cdot \bar{z}_0 = \frac{k \cdot \bar{z}_0^2}{2\epsilon} + C_1 \bar{z}_0. \right\} \quad (3.21)$$

Откуда найдем $C_1 = \frac{\pi}{2\bar{z}_0} \cos \frac{\pi}{2} \bar{z}_0 - \frac{k \bar{z}_0}{2\epsilon}$, подставляя C_1 в (3.20), получим выражение для определения толщины пограничного слоя \bar{z}_0

$$\sin \frac{\pi}{2} \bar{z}_0 = \frac{\pi \bar{z}_0}{4} \cos \frac{\pi}{2} \bar{z}_0 - \frac{k \bar{z}_0^3}{12\epsilon}. \quad (3.22)$$

Уравнение (3.22) может быть решено численными методами, либо величину \bar{z}_0 можно определить из приближенной оценки слагаемых.

Полагая $\bar{z}_0 = \epsilon$, видим, что равенство (3.22) выполняется с точностью до ϵ . Тогда, с точностью до первого порядка малости, выражение для константы интегрирования примет вид

$$C_1 = \frac{\pi}{2\epsilon} - \frac{\pi^3}{8}, \quad (3.23)$$

Внутреннее решение запишем при $k = \frac{\pi^2}{4}$

$$\bar{W}' = \frac{\pi^2}{24\epsilon} \bar{z}^3 - \left(\frac{\pi^2}{16} + \frac{\pi}{4\epsilon} \right) \bar{z}^2, \quad 0 \leq \bar{z} \leq \bar{z}_0,$$

и окончательно выражение для поперечной скорости будет включать внешнее и внутреннее решения

$$\bar{W}^0 = \sin \frac{\pi}{\epsilon} \bar{z}, \quad z_0 \leq \bar{z} \leq 1, \quad (3.24)$$

$$\bar{W}' = \frac{\pi^2}{24\epsilon} \bar{z}^3 - \left(\frac{\pi^2}{16} - \frac{\pi}{4\epsilon} \right) \bar{z}^2, \quad 0 \leq \bar{z} \leq \bar{z}_0, \quad (3.25)$$

где $\bar{z}_0 = \epsilon$.

Профиль продольной скорости запишем в виде:

$$\bar{V}^0 = -\frac{\pi}{2} \cos \frac{\pi}{2} \bar{z} \bar{y}, \quad \bar{z}_0 \leq \bar{z} \leq 1, \quad (3.26)$$

$$\bar{V}^1 = \left[-\frac{\pi^2}{8\epsilon} \bar{z}^2 + \left(\frac{\pi^2}{8} - \frac{\pi}{2\epsilon} \right) \bar{z} \right] \bar{y}, \quad 0 \leq \bar{z} \leq \bar{z}_0, \quad (3.27)$$

Построим эпюры для поперечной и продольной скоростей в соответствии с формулами (3.26) и (3.27).

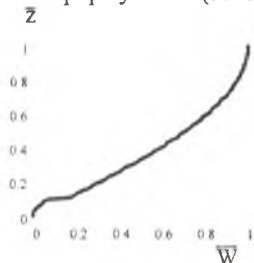


Рис.3.3. Безразмерное распределение поперечной скорости по высоте канала

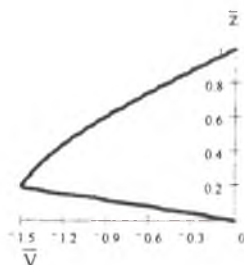


Рис. 3.4. Безразмерное распределение продольной скорости по высоте канала при $\bar{y} = 1$

Из графиков (рис.3.3,3.4) видно, что в окрестности точки $\bar{z} = 0$ располагается пограничный слой. График для продольной скорости показывает, что верхние слои жидкости в канавке испытывают торможение от встречного потока газа.

3.3. Интеграл нулевого приближения в виде гиперболической функции

Положим $\bar{W}_0 = A \operatorname{sh} z$, тогда, удовлетворяя граничным условиям в точке $\bar{z} = 1$, найдем $A = \frac{2e}{e^2 - 1}$ при $k = \frac{4e^2}{(e^2 - 1)^2}$ и $\bar{\tau} = 1$. Таким образом, имеем феноменологическое решение задачи для течения жидкости в прямоугольной канавке с отсосом массы (испаритель тепловой трубы)

$$\bar{W}_0 = \frac{2e}{e^2 - 1} \operatorname{sh} \bar{z}, \quad \bar{\tau} = 1 > 0. \quad (3.28)$$

Данная задача соответствует движению жидкости в канавке и потока газа в одном направлении.

Следовательно, внешнее решение задачи для нулевого приближения можно записать в виде

$$\bar{W}^0 = \frac{2e}{e^2 - 1} \operatorname{sh} \bar{z}, \quad \bar{z}_0 \leq \bar{z} \leq 1. \quad (3.29)$$

Внутреннее решение задачи в области пограничного слоя совпадает с (3.12)

$$\bar{W} = \frac{k \bar{z}^3}{6\varepsilon} + \frac{C_1 \bar{z}^2}{2}, \quad 0 \leq \bar{z} \leq \bar{z}_0. \quad (3.30)$$

Выполним сращивание решений (3.29) и (3.30), для чего приравняем функции внутреннего и внешнего решений, а также их первые производные в точке $\bar{z} = \bar{z}_0$. Тогда

$$\left. \begin{aligned} \frac{2e}{e^2 - 1} \operatorname{sh} \bar{z}_0 &= \frac{k \bar{z}_0^3}{6\varepsilon} + \frac{C_1 \bar{z}_0^2}{2}, \end{aligned} \right\} \quad (3.31)$$

$$\left. \begin{aligned} \frac{2e}{e^2 - 1} \operatorname{ch} \bar{z}_0 &= \frac{k \bar{z}_0^2}{2\varepsilon} + C_1 \bar{z}_0. \end{aligned} \right\} \quad (3.32)$$

Откуда найдем $C_1 = \frac{2e}{e^2 - 1} \frac{\operatorname{ch} \bar{z}_0}{\bar{z}_0} - \frac{k \bar{z}_0}{2\varepsilon}$. Подставляя C_1 в (3.31), получим выражение для определения величины пограничного слоя

$$\frac{2e}{e^2 - 1} \operatorname{sh} \bar{z}_0 = \frac{e \bar{z}_0}{e^2 - 1} \operatorname{ch} \bar{z}_0 - \frac{k \bar{z}_0^3}{12\varepsilon}. \quad (3.33)$$

Легко видеть, что равенство (3.33) приближенно выполняется для $\bar{z}_0 = \varepsilon$. Тогда константу интегрирования запишем в виде

$$C_1 = \frac{2e}{e^2 - 1} \frac{\operatorname{ch} \varepsilon}{\varepsilon} - \frac{2e^2}{(e^2 - 1)}, \quad (3.34)$$

и внутреннее решение перепишем

$$\bar{W}' = \frac{k \bar{z}^3}{6\varepsilon} + \frac{e}{e^2 - 1} \frac{ch\varepsilon}{\varepsilon} \bar{z}^2 - \frac{e^2}{(e^2 - 1)^2} \bar{z}^2.$$

Общее решение задачи для течения жидкости в прямоугольной канавке с отсосом массы (испаритель тепловой трубы) при движении жидкости и газа в одном направлении:

поперечная скорость

$$\left. \begin{aligned} \bar{W}^0 &= \frac{2e}{e^2 - 1} \text{sh} \bar{z}, & \bar{z}_0 \leq \bar{z} \leq 1 \\ \bar{W}' &= \frac{k \bar{z}^3}{6\varepsilon} + \frac{e}{e^2 - 1} \frac{ch\varepsilon}{\varepsilon} \bar{z}^2 - \frac{e^2}{(e^2 - 1)^2} \bar{z}^2, & 0 \leq \bar{z} \leq \bar{z}_0 \end{aligned} \right\} \quad (3.35)$$

продольную скорость запишем в виде

$$\left. \begin{aligned} \bar{V}^0 &= \left(\frac{2e}{1 - e^2} \text{ch} \bar{z} \right) \bar{y}, & \bar{z}_0 \leq \bar{z} \leq 1 \\ \bar{V}' &= \left[-\frac{k \bar{z}^2}{2e} - \frac{2e}{e^2 - 1} \frac{ch\varepsilon}{\varepsilon} \bar{z} + \frac{2e^2}{(e^2 - 1)^2} \bar{z} \right] \bar{y}, & 0 \leq \bar{z} \leq \bar{z}_0 \end{aligned} \right\} \quad (3.36)$$

Построим эпюры для поперечной и продольной скоростей в соответствии с формулами (3.35) и (3.36).

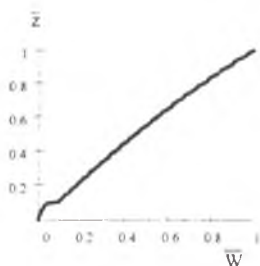


Рис.3.5. Безразмерное распределение поперечной скорости по высоте канала

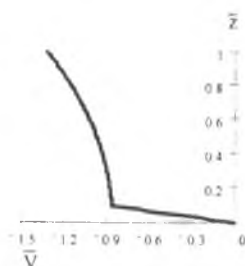


Рис. 3.6. Безразмерное распределение продольной скорости по высоте канала при $\bar{y} = 1$

Из графиков (рис.3.5,3.6) видно, что в окрестности точки $\bar{z} = 0$ располагается пограничный слой. График для продольной скорости показывает, что верхние слои жидкости в канавке разгоняются от спутного

потока газа. Знак «-» у продольной скорости означает, что направление потока противоположно оси y .

ГЛАВА 4. ТЕЧЕНИЕ ГАЗА В ЦИЛИНДРИЧЕСКОМ КАНАЛЕ С ОТСОСОМ МАССЫ ПРИ БОЛЬШИХ ПОПЕРЕЧНЫХ ЧИСЛАХ РЕЙНОЛЬДСА

Краевая задача о ламинарном течении газа в цилиндрическом канале с равномерным отсосом массы (конденсатор тепловой трубы) имеет следующий безразмерный вид [9]:

$$\frac{1}{\bar{r}^3} \left[\frac{1}{\text{Re}} (\bar{W}'' \bar{r}^2 - \bar{W}' \bar{r} + \bar{W}') + \bar{W}'^2 \bar{r} - \bar{W} \bar{W}'' \bar{r} + \bar{W} \bar{W}' \right] = -\frac{1}{y} \frac{dP}{dy} = k, \quad (4.1)$$

$$\bar{r} = 0, \bar{W} = 0, \quad \bar{W}'' - \frac{\bar{W}'}{\bar{r}} = 0, \quad (4.2)$$

$$\bar{r} = 1, \bar{W} = 1, \quad \bar{W}' = 0. \quad (4.3)$$

При введении новой переменной $\bar{z} = \ln \bar{r}$, уравнение движения для поперечной скорости и граничные условия переписутся

$$\varepsilon (\bar{W}'' - 4\bar{W}'' + 4\bar{W}') + \bar{W}'^2 - \bar{W} \bar{W}'' + 2\bar{W} \bar{W}' = ke^{4z}, \quad (4.4)$$

$$\bar{z} = -\infty, \quad \bar{W} = 0, \quad \lim_{\bar{z} \rightarrow -\infty} (\bar{W}'' - 2\bar{W}') = 0, \quad (4.5)$$

$$\bar{z} = 0, \quad \bar{W} = 1, \quad \bar{W}' = 0. \quad (4.6)$$

Для решения задачи (4.4)-(4.6) воспользуемся методом сращиваемых асимптотических разложений Ван-Дайка и будем искать внешнее и внутреннее решения. Внешнее решение запишем в виде ряда $\bar{W} = \bar{W}_0 + \varepsilon \bar{W}_1 + \dots$ по степеням малого параметра. Ограничимся нулевым приближением, тогда

$$\bar{W}_0'^2 - \bar{W}_0 \bar{W}_0'' + 2\bar{W}_0 \bar{W}_0' = ke^{4z}, \quad (4.7)$$

$$\bar{z} = -\infty, \quad \bar{W}_0 = 0, \quad \lim_{\bar{z} \rightarrow -\infty} (\bar{W}_0'' - 2\bar{W}_0') = 0, \quad (4.8)$$

$$\bar{z} = 0, \quad \bar{W}_0 = 1, \quad \bar{W}_0' = 0. \quad (4.9)$$

Интегралом дифференциального уравнения (4.7) является функция $\bar{W}_0 = Ae^{2z}$ при $k = 4A^2$. Можно проверить, что граничные условия (4.8)

выполняются. Из граничного условия $\bar{z} = 0$, $\bar{W}_0 = 1$ следует определение констант $A = 1$, $k = 4$.

Оставшееся граничное условие $\bar{z} = 0$, $\bar{W}'_0 = 0$ удовлетворить не удастся, следовательно, можно сделать вывод о наличии пограничного слоя в окрестности точки $\bar{z} = 0$. Физически это означает, что пограничный слой располагается у стенки канала при $\bar{r} = 1$. Таким образом, внешнее решение имеет вид

$$\bar{W}^0 = e^{2\bar{z}}. \quad (4.10)$$

Для нахождения внутреннего решения введем в окрестности точки $\bar{z} = 0$ растягивающую координату $\xi = \frac{\bar{z}}{\varepsilon}$. Выполним преобразование уравнения движения (4.7) с учетом следующих соотношений:

$$\bar{W}' = \frac{1}{\varepsilon} \frac{d\bar{W}}{d\xi}, \quad \bar{W}'' = \frac{1}{\varepsilon^2} \frac{d^2\bar{W}}{d\xi^2}, \quad \bar{W}''' = \frac{1}{\varepsilon^3} \frac{d^3\bar{W}}{d\xi^3}.$$

В дальнейшем для краткости вновь обозначим производные по ξ штрихом, имея в виду, что $\bar{W} = \bar{W}(\xi)$.

Уравнение движения перепишем в виде

$$\bar{W}''' - 4\varepsilon\bar{W}'' + 4\varepsilon^2\bar{W}' + \bar{W}'^2 - \bar{W}\bar{W}'' + 2\varepsilon\bar{W}\bar{W}' = k\varepsilon^2 e^{2\xi},$$

и, переходя в уравнении к пределу при $\varepsilon \rightarrow 0$, получим

$$\bar{W}''' + \bar{W}'^2 - \bar{W}\bar{W}'' = 0, \quad 0 \geq \xi \geq \xi_0 \quad (4.11)$$

$$\xi = 0, \quad \bar{W} = 1, \quad \bar{W}' = 0, \quad (4.12)$$

где ξ_0 - толщина пограничного слоя.

Для приближенного решения нелинейного дифференциального уравнения (4.11) воспользуемся малостью толщины пограничного слоя ξ_0 и будем считать, что граничные условия (4.12) приближенно выполняются во всем диапазоне изменения аргумента $0 \geq \xi \geq \xi_0$. Подставив (4.12) в (4.11), получим краевую задачу

$$\bar{W}''' - \bar{W}' = 0, \quad (4.13)$$

$$\xi = 0, \quad \bar{W} = 1, \quad \bar{W}' = 0. \quad (4.14)$$

Интегралом дифференциального уравнения (4.13) является функция

$$\bar{W} = C_1 e^{\xi} + C_2 \xi + C_3, \quad (4.15)$$

и, удовлетворяя граничным условиям (4.14), получим внутреннее решение задачи

$$\bar{W}' = C_1 e^{\xi} - C_1 \xi - C_1 + 1, \quad (4.16)$$

где константа C_1 определяется из условия сращивания внешнего и внутреннего разложений.

Для асимптотического сращивания внешнего и внутреннего разложений по методу Ван-Дайка перейдем во внешнем разложении (4.10) к растягивающей координате $\xi = \frac{\bar{z}}{\varepsilon}$, тогда получим

$$\bar{W}^0 = e^{2\varepsilon\xi}. \quad (4.17)$$

Разложим в окрестности $\xi=0$ правую часть уравнения (4.17) в ряд Тейлора по степеням малого параметра ε и при фиксированной координате ξ

$$e^{2\varepsilon\xi} = 1 + 2\varepsilon\xi + \dots$$

После чего перепишем (4.17), ограничиваясь величинами нулевого и первого порядка малости

$$(\bar{W}^0)' = 1 + 2\varepsilon\xi. \quad (4.18)$$

Найдем внутреннее-внешнее разложение. Для чего в уравнении (4.18) перейдем к координате \bar{z}

$$\bar{W}' = C_1 e^{\frac{\bar{z}}{\varepsilon}} - \frac{C_1 \bar{z}}{\varepsilon} - C_1 + 1 \quad (4.19)$$

и выполним в (4.19) предельный переход при фиксированной координате \bar{z} и стремлении ε к нулю. В этом случае имеем $\frac{C_1 \bar{z}}{\varepsilon} \gg C_1$ и $\frac{C_1}{\varepsilon} \gg C_1 e^{\frac{\bar{z}}{\varepsilon}}$, тогда внутреннее-внешнее разложение примет вид

$$(\bar{W}^1)' = -\frac{C_1}{\varepsilon} \bar{z} + 1. \quad (4.20)$$

Приравниваем правые части разложений (4.18) и (4.20), найдем $C_1 = -2\epsilon$; равенство свободных членов дает тождество $1=1$. С учетом найденной константы внутреннее решение запишем в виде

$$\bar{W}' = -2\epsilon e^{\frac{z}{\epsilon}} + 2\bar{z} + 1. \quad (4.21)$$

Построим составное решение по методу Ван-Дайка

$$\bar{W} = \bar{W}^0 + \bar{W}^1 - (\bar{W}^0)' = e^{2z} - 2\epsilon e^{\frac{z}{\epsilon}}. \quad (4.22)$$

Можно убедиться, что граничные условия (4.5) и (4.6) выполняются с точностью до малости первого порядка. Вне пограничного слоя второе слагаемое в правой части (4.22) $\lim_{\epsilon \rightarrow 0} e^{\frac{z}{\epsilon}} = 0$, ($\bar{z} < 0$).

Возвращаясь к координате $\bar{r} = e^z$, перепишем общее решение (4.22)

$$\bar{W} = \bar{r}^2 - 2\epsilon \bar{r}^{\frac{1}{\epsilon}}. \quad (4.23)$$

Выполним оценку приближения, которое мы допустили в окрестности пограничного слоя, переходя от уравнения (4.11) к уравнению (4.13). Для этого необходимо вычислить функцию W и ее производную на границе слоя. Задавая $\epsilon = 0.01$, найдем, что $W(0,99) = 0,973$ и $W'(0,99) = 0$.

Таким образом, принимая что граничные условия (4.12) $W(1) = 1$ и $W'(1) = 0$ приближенно выполняются во всем диапазоне пограничного слоя, мы допустили ошибку не превышающую 3%.

Выражение для продольной скорости получим в соответствии с формулой $\bar{V} = \frac{\bar{W}'}{\bar{r}} \left(\frac{L}{R} - \bar{y} \right)$, тогда

$$\bar{V} = 2 \left(1 - \bar{r}^{\frac{1}{\epsilon} - 2} \right) \left(\frac{L}{R} - \bar{y} \right), \quad (4.24)$$

где R - радиус цилиндра, L - длина цилиндрического канала, $\frac{1}{\epsilon} = Re$

На рис.4.1, 4.2 показаны эпюры поперечной и продольной скоростей в поперечном сечении цилиндрического канала.

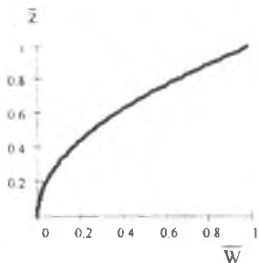


Рис. 4.1. Безразмерное распределение поперечной скорости по высоте канала

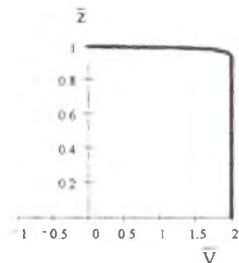


Рис. 4.2. Безразмерное распределение продольной скорости по высоте канала при $\bar{y} = 1$

У стенки цилиндрического канала при $\bar{r} = 1$ (рис.4.2) можно видеть быстрое изменение продольной скорости - пограничный слой. На оси канала в точке $\bar{z} = 0$ касательная к функции $\bar{V}(\bar{y}, \bar{z})$ составляет с осью \bar{z} угол $\alpha=0$, что соответствует условию максимальной продольной скорости на оси симметрии потока.

ГЛАВА 5. МЕТОД ИНТЕГРАЛЬНЫХ МНОГООБРАЗИЙ

Метод интегральных многообразий заключается в выделении медленного движения на интегральном многообразии. В нашем случае функцией медленного движения является поперечная скорость течения с переменным расходом массы по длине канала.

5.1. ТЕЧЕНИЕ ГАЗА СО ВДУВОМ МАССЫ В ПЛОСКОМ КАНАЛЕ

Математическая формулировка задачи о ламинарном течении газа в плоском канале со вдувом массы в безразмерном виде будет иметь следующий вид:

$$\left. \begin{aligned}
 \varepsilon \bar{W}''' + \bar{W}'^2 - \bar{W} \bar{W}'' &= k, & (a) \\
 \bar{V} &= -\bar{y} \bar{W}', & (b) \\
 \bar{z} = 0, \bar{W} = 0, \bar{W}'' &= 0, & (c) \\
 \bar{z} = 1, \bar{W} = -1, \bar{W}' &= 0, & (d)
 \end{aligned} \right\} (5.1)$$

где безразмерные величины соответствуют ранее принятым [10].

Для решения системы (5.1) воспользуемся методом интегральных многообразий с выделением медленного движения на интегральном многообразии [11]. Введем следующие обозначения:

$$\bar{W} = x_1, \quad x_2 = x_1', \quad x_3 = x_2', \quad \text{где } \bar{W} = \bar{W}(z), \quad x_1' = \frac{d\bar{W}}{dz}, \quad x_2' = \frac{d^2\bar{W}}{dz^2}. \quad (5.2)$$

Тогда уравнения движения перепишем в следующем виде:

$$\left. \begin{aligned} x_1' &= x_2, & (a) \\ x_2' &= x_3, & (b) \\ \epsilon x_3' + x_2^2 - x_1 x_3 &= k, & (c) \\ z = 0, x_1 = 0, x_3 &= 0, & (d) \\ \bar{z} = 1, x_1 = -1, x_2 &= 0. & (e) \end{aligned} \right\} \quad (5.3)$$

Для преобразования уравнения (5.3с) воспользуемся методом возмущения, представив x_3 в виде бесконечного ряда по степеням малого параметра ϵ

$$x_3 = \sum_{n=0}^{\infty} h_n \epsilon^n. \quad (5.4)$$

где $h_n = h_n(x_1, x_2, z)$.

Подставляя (5.4) в уравнение (5.3с) и пренебрегая слагаемыми второго и выше порядка малости, найдем для нулевого приближения

$$x_1 h_0 - x_2^2 + k = 0 \quad (5.5)$$

и для первого приближения

$$\frac{\partial h_0}{\partial z} + \frac{\partial h_0}{\partial x_1} \frac{\partial x_1}{\partial z} + \frac{\partial h_0}{\partial x_2} \frac{\partial x_2}{\partial z} = x_1 h_1,$$

или, с учетом выражения (5.4), последнее уравнение перепишем

$$\frac{\partial h_0}{\partial z} + \frac{\partial h_0}{\partial x_1} x_2 + \frac{\partial h_0}{\partial x_2} h_0 = x_1 h_1, \quad (5.6)$$

Объединим выражения (5.5) и (5.6). Тогда, используя (5.3), можно записать

$$h_0 = \frac{x_2^2 - k}{x_1}, \quad h_1 = \frac{x_2^3 - kx_2}{x_1^2},$$

и приближенное выражение для x_3 примет вид

$$x_3 = \frac{x_2^2 - k}{x_1} + \varepsilon \frac{x_2^3 - kx_2}{x_1^2}. \quad (5.7)$$

Перепишем систему уравнений (5.3)

$$\left. \begin{aligned} x_1' &= x_2, \\ x_2' &= x_3, \\ x_3' &= \frac{x_2^2 - k}{x_1} + \varepsilon \frac{x_2^3 - kx_2}{x_1^2}, \end{aligned} \right\}$$

или с оговоренной выше точностью получим

$$x_1'' = \frac{x_1^2 - k}{x_1} + \varepsilon \frac{x_1^3 - kx_1}{x_1^2}. \quad (5.8)$$

Решение уравнения (5.8) будем вновь искать в виде ряда по степеням малого параметра

$$x_1 = \sum_{n=0}^{\infty} P_n \varepsilon^n, \quad \text{где } P_n = P_n(z). \quad (5.9)$$

Подставляя ряд (5.9) в уравнение (5.8) и приравнявая слагаемые при одинаковых степенях ε , получаем соответственно нулевое приближение

$$\left. \begin{aligned} P_0 P_0'' - P_0'^2 + k &= 0 & (a) \\ \bar{z} = 0, P_0 = 0, P_0'' &= 0, & (b) \\ \bar{z} = 1, P_0 = -1, P_0' &= 0 & (c) \end{aligned} \right\} \quad (5.10)$$

и первое приближение

$$\left. \begin{aligned} P_0^3 P_1'' - 2P_0^2 P_0' P_1' - P_0(k - P_0'^2) P_1 &= (P_0'^2 - k) P_0', & (a) \\ \bar{z} = 0, P_1 = 0, P_1'' &= 0, & (b) \\ \bar{z} = 1, P_1 = 0, P_1' &= 0. & (c) \end{aligned} \right\} \quad (5.11)$$

Решением краевой задачи (5.10) является функция

$$P_0 = -\sin \frac{\pi}{2} \bar{z}, \quad \text{при } k = \frac{\pi^2}{4}.$$

Тогда уравнение (5.11a) примет вид

$$-P_1'' \sin \frac{\pi}{2} \bar{z} + P_1' \pi \cos \frac{\pi}{2} \bar{z} + P_1 \frac{\pi}{2} \bar{z} = \frac{\pi}{8} \cos \frac{\pi}{2} \bar{z}. \quad (5.12)$$

Найдем общее решение соответствующего однородного уравнения, для чего сделаем замену $P_1 = \Phi(\bar{z}) \cos \frac{\pi}{2} \bar{z}$, где $\Phi(\bar{z})$ - неизвестная функция. Получим дифференциальное уравнение второго порядка

$$2\Phi''(\bar{z}) \sin \frac{\pi}{2} \bar{z} \cos \frac{\pi}{2} \bar{z} - 2\pi\Phi'(\bar{z}) = 0, \quad (5.13)$$

откуда найдем

$$\Phi(\bar{z}) = C_2 \left(\operatorname{tg} \frac{\pi}{2} \bar{z} - \frac{\pi}{2} \bar{z} \right) + C_3,$$

и общее решение однородного уравнения запишем в виде

$$P_1 = C_2 \left(\sin \frac{\pi}{2} \bar{z} - \frac{\pi}{2} \bar{z} \cos \frac{\pi}{2} \bar{z} \right) + C_3 \cos \frac{\pi}{2} \bar{z}. \quad (5.14)$$

Для нахождения частного решения неоднородного уравнения (5.11а) воспользуемся методом вариации произвольных постоянных. Считая C_2 и C_3 функциями от \bar{z} , получим для их определения систему

$$\begin{aligned} C_2'(\bar{z})\left(\sin \frac{\pi}{2}\bar{z} - \frac{\pi}{2}\bar{z} \cos \frac{\pi}{2}\bar{z}\right) + C_3'(\bar{z})\cos \frac{\pi}{2}\bar{z} &= 0, \\ -\sin^2 \frac{\pi}{2}\bar{z} \left[C_2'(\bar{z})\frac{\pi}{2}\bar{z} - C_3'(\bar{z}) \right] &= \frac{\pi^2}{4} \cos \frac{\pi}{2}\bar{z}. \end{aligned} \quad (5.15)$$

Из последней системы следует, что

$$\begin{aligned} C_2 &= \frac{\pi}{4} \left(\frac{\cos \frac{\pi}{2}\bar{z}}{\sin^2 \frac{\pi}{2}\bar{z}} - \ln \left| \operatorname{tg} \frac{\pi}{4}\bar{z} \right| \right), \\ C_3 &= \frac{\pi^2 \bar{z}}{8} \frac{\cos \frac{\pi}{2}\bar{z}}{\sin^2 \frac{\pi}{2}\bar{z}} - \frac{\pi}{4 \sin \frac{\pi}{2}\bar{z}} + \frac{\pi^3}{16} \int_0^{\bar{z}} \frac{\zeta d\zeta}{\sin \frac{\pi}{2}\zeta}, \end{aligned}$$

и частное решение задачи для первого приближения примет вид

$$P_1 = \frac{\pi}{4} \ln \left| \operatorname{tg} \frac{\pi}{4}\bar{z} \right| \left(\sin \frac{\pi}{2}\bar{z} - \frac{\pi}{2}\bar{z} \cos \frac{\pi}{2}\bar{z} \right) + \frac{\pi^3}{16} \cos \frac{\pi}{2}\bar{z} \int_0^{\bar{z}} \frac{\zeta d\zeta}{\sin \frac{\pi}{2}\zeta}. \quad (5.16)$$

В уравнении (5.13) слагаемое $\bar{z} \ln \left| \operatorname{tg} \frac{\pi}{4}\bar{z} \right|$ при $\bar{z} = 0$ дает неопределенность типа $0 \cdot \infty$. Можно показать, что $\lim_{\bar{z} \rightarrow 0} \bar{z} \ln \left| \operatorname{tg} \frac{\pi}{4}\bar{z} \right| = 0$, и, следовательно, граничное условие $P_1(0) = 0$ выполняется. Граничное условие $P_1'(1) = 0$ удовлетворяется приближенно с ошибкой, не превосходящей 7%.

Таким образом, поле скоростей плоского газового потока со вдувом массы будет представлено в следующем виде:

поперечная скорость

$$\bar{W}(z) = -\sin \frac{\pi}{2} z + \left[\frac{\pi}{4} \ln \left| \operatorname{tg} \frac{\pi}{4} z \right| \left(\sin \frac{\pi}{2} z - \frac{\pi}{2} z \cos \frac{\pi}{2} z \right) + \frac{\pi^3}{16} \cos \frac{\pi}{2} z \int_0^z \frac{\zeta d\zeta}{\sin \frac{\pi}{2} \zeta} \right], \quad (5.17)$$

продольная скорость

$$\bar{V}(z, y) = y \left[\frac{\pi}{2} \cos \frac{\pi}{2} z - \left(\frac{\pi^2}{8} + \frac{\pi^3}{16} z \sin \frac{\pi}{2} z \ln \left| \operatorname{tg} \frac{\pi}{4} z \right| - \frac{\pi^4}{32} \sin \frac{\pi}{2} z \int_0^z \frac{\zeta d\zeta}{\sin \frac{\pi}{2} \zeta} \right) \right]. \quad (5.18)$$

Данное решение можно назвать феноменологическим, так как специальных мероприятий по уточнению решения в области пограничного слоя не предпринималось. На рис.(5.1) и (5.2) показаны элюры поперечной и продольной скоростей

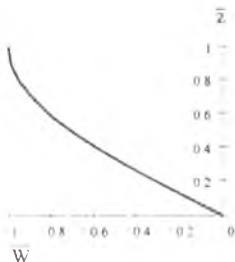


Рис.5.1. Безразмерное распределение поперечной скорости по высоте канала

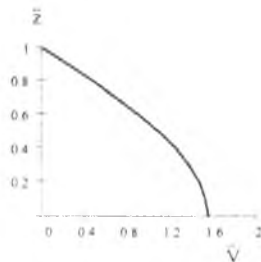


Рис. 5.2. Безразмерное распределение продольной скорости по высоте канала при $\bar{y} = 1$

Из рис.5.1 видим, что функция $\bar{W}(z)$ является медленной переменной. На оси симметрии в точке $\bar{z} = 0$ касательная к функции $\bar{V}(\bar{y}, \bar{z})$ составляет с осью \bar{z} угол $\alpha = 0$, что соответствует условию максимальной продольной скорости.

5.2. ТЕЧЕНИЕ ЖИДКОСТИ В ПРЯМОУГОЛЬНОЙ КАНАВКЕ С ОТСОСОМ МАССЫ ПРИ ВЗАИМОДЕЙСТВИИ С ВНЕШНИМ ПОТОКОМ ГАЗА

Течение жидкости в прямоугольной канавке с отсосом массы соответствует течению жидкости в канавке испарителя тепловой трубы при взаимодействии с потоком пара.

Рассмотрим течение для ядра потока жидкости в прямоугольной канавке с отсосом массы при взаимодействии с внешним потоком газа. Математическая формулировка задачи будет иметь следующий вид [12]

$$\left. \begin{aligned} \varepsilon \bar{W}''' + \bar{W}'^2 - \bar{W} \bar{W}'' &= k, & (a) \\ \bar{z} = 0, \quad \bar{W} = 0, \quad \bar{W}' = 0, & & (b) \\ \bar{z} = 1, \quad \bar{W} = 1, \quad \bar{y} \bar{W}'' = \bar{\tau}, & & (c) \end{aligned} \right\} \quad (5.19)$$

где $\bar{\tau}$ задается из решения задачи о течении внешнего потока газа.

Будем рассматривать три случая: 1) движение жидкости и газа совпадает по направлению; 2) жидкость и газ двигаются в противоположном направлении; 3) контакт между жидкостью и газом отсутствует.

В первом случае газ способствует движению жидкости, и напряжение трения на поверхности жидкости есть величина положительная, во втором случае встречное движение газа препятствует движению жидкости, и напряжение трения - величина отрицательная, в третьем случае трение равно нулю.

Используя обозначения (5.2), исходную систему переписем в следующем виде:

$$\left. \begin{aligned} x_1' &= x_2, & (a) \\ x_2' &= x_3, & (b) \\ \varepsilon x_3' &= -x_2^2 + x_1 x_3 + k, & (c) \\ \bar{z} = 0, \quad x_1 = 0, \quad x_2 = 0, & & (d) \\ \bar{z} = 1, \quad x_1 = 1, \quad x_3 = \bar{\tau}, & & (e) \end{aligned} \right\} \quad \text{где } |\bar{\tau}| = \frac{\pi^2}{4}. \quad (5.20)$$

Можно показать, что дальнейшие преобразования системы уравнений (5.20) по аналогии с предыдущим разделом приводят к дифференциальным уравнениям для нулевого и первого приближений (5.10а) и (5.11а). И удовлетворить граничным условиям данной краевой задачи в общем

виде не удастся.

Поэтому для решения задачи воспользуемся методом [9], который предусматривает введение в задачу пограничной функции. Для чего вернемся к уравнению (5.8) и перепишем его

$$x_1'' = \frac{x_1'^2 - k}{x_1} + \epsilon \frac{x_1'^3 - kx_1'}{x_1^3}.$$

Как мы убедились ранее, нулевое приближение этого уравнения может быть записано в виде трех функций:

$$x_1 = C_1 \operatorname{sh} \bar{z}, \quad x_1 = C_1 \bar{z}, \quad x_1 = C_1 \sin \frac{\pi}{2} \bar{z}. \quad (5.21)$$

Эти функции следует рассматривать как внешнее решение задачи, которое следует подправить в окрестности граничной точки. Пограничный слой располагается в окрестности точки $\bar{z} = 0$ (у стенки канала). Для уточнения решения в области пограничного слоя введем пограничную функцию U_3 следующим образом:

$$x_3 = x_3 + U_3. \quad (5.22)$$

По определению пограничной функции она имеет существенное значение только в окрестности граничной точки.

Подставим (5.22) в (5.20с) и приравняем в левой и правой частях уравнения слагаемые, содержащие пограничную функцию $U_3(\bar{z})$, тогда

$$\epsilon U_3' = x_1 U_3. \quad (5.23)$$

Будем искать U_3 , последовательно рассматривая внешние решения (5.21).

1. Рассмотрим случай, когда внешнее решение задачи соответствует функции $x_1 = C_1 \operatorname{sh} \bar{z}$.

Тогда интеграл уравнения (5.23) запишем в виде

$$U_3 = A e^{\frac{C_1 \operatorname{ch} z}{\epsilon}}. \quad (5.24)$$

Функции $U_1(\bar{z})$ и $U_2(\bar{z})$, уточняющие решение для x_1 и x_2 , определим из следующих соотношений $U_1' = U_2$, $U_2' = U_3$:

$$\left. \begin{aligned} U_2 &= A \int_0^z e^{-\frac{C_1 ch \xi}{\epsilon}} d\xi + B, \\ U_1 &= A \int_0^z \int_0^\xi e^{-\frac{C_1 ch \xi}{\epsilon}} d\xi d\bar{z} + Bz + D, \end{aligned} \right\} \quad (5.25)$$

где A, B, D, C_1 - константы интегрирования.

И общее решение краевой задачи (5.20) примет вид

$$\left. \begin{aligned} x_1 &= C_1 shz + A \int_0^z \int_0^\xi e^{-\frac{C_1 ch \xi}{\epsilon}} d\xi d\bar{z} + Bz + D, \\ x_2 &= C_1 chz + A \int_0^z e^{-\frac{C_1 ch \xi}{\epsilon}} d\xi + B, \\ x_3 &= C_1 shz + Ae^{-\frac{C_1 ch z}{\epsilon}}. \end{aligned} \right\} \quad (5.26)$$

Удовлетворяя граничным условиям, найдем

$$\left. \begin{aligned} D = 0, \quad C_1 + B = 0, \quad C_1 \frac{e^2 - 1}{2e} + Ae^{\frac{C_1(e^2 - 1)}{2\epsilon}} = \bar{\tau}, \\ C_1 \frac{e^2 - 1}{2e} + A \int_0^1 \int_0^\xi e^{-\frac{C_1 ch \xi}{\epsilon}} d\xi d\bar{z} - C_1 = 1. \end{aligned} \right\} \quad (5.27)$$

Предполагая $C_1 \leq -1$, можно указать приближенное аналитическое решение системы (5.27). В этом случае величиной $e^{\frac{C_1(e^2 - 1)}{2\epsilon}}$ можно пренебречь ввиду ее малости, тогда

$$\left. \begin{aligned} A &= \frac{2e\bar{\tau}}{e^2 - 1} + 1 - \bar{\tau} \\ &\quad \int_0^1 \int_0^\xi e^{-\frac{C_1 ch \xi}{\epsilon}} d\xi d\bar{z}, \quad C_1 = \frac{2e\bar{\tau}}{e^2 - 1}, \\ B &= \frac{2e\bar{\tau}}{1 - e^2}, \quad k = \frac{4e\bar{\tau}}{(e^2 - 1)^2}. \end{aligned} \right\} \quad (5.28)$$

Легко видеть, что условие $C_1 \leq -1$ выполняется для $\bar{\tau} < 0$ (встречное движение жидкости и газа), и решение задачи примет вид

$$x_1 = \frac{2e\bar{\tau}}{e^2 - 1} \text{sh}\bar{z} + \left(\frac{2e\bar{\tau}}{e^2 - 1} + 1 - \bar{\tau} \right) \frac{\int_0^{\bar{z}} \int_0^{\xi} e^{\frac{C_1 \text{ch}\xi}{\varepsilon}} d\xi d\xi}{\int_0^{\bar{z}} \int_0^{\xi} e^{\frac{C_1 \text{ch}\xi}{\varepsilon}} d\xi d\xi} + \frac{2e\bar{\tau}\bar{z}}{1 - e^2},$$

$$x_2 = \frac{2e\bar{\tau}}{e^2 - 1} \text{ch}\bar{z} + \left(\frac{2e\bar{\tau}}{e^2 - 1} + 1 - \bar{\tau} \right) \frac{\int_0^{\bar{z}} e^{\frac{C_1 \text{ch}\xi}{\varepsilon}} d\xi}{\int_0^{\bar{z}} \int_0^{\xi} e^{\frac{C_1 \text{ch}\xi}{\varepsilon}} d\xi d\xi} + \frac{2e\bar{\tau}}{1 - e^2},$$

$$x_3 = \frac{2e\bar{\tau}}{e^2 - 1} \text{sh}\bar{z}.$$

Численное решение системы уравнений (5.24) для $\bar{\tau} = -\frac{\pi^2}{4}$ и $\varepsilon = 0,01$ дает следующие значения коэффициентов: $C_1 = -2,1$; $B = 2,1$; $k = 4,41$,

$A = \frac{1 + 3e - e^2}{\int_0^{\bar{z}} \int_0^{\xi} e^{\frac{2,1 \text{ch}\xi}{\varepsilon}} d\xi d\xi}$. Возвращаясь к первоначальным обозначениям, запи-

шем выражения для продольной и поперечной скоростей при течении жидкости в прямоугольной канавке при отсосе массы (испаритель тепловой трубы).

$$\left. \begin{aligned} \bar{W}(\bar{z}) &= -2,1 \text{sh}\bar{z} + A \int_0^{\bar{z}} \int_0^{\xi} e^{\frac{2,1 \text{ch}\xi}{\varepsilon}} d\xi d\xi + 2,1\bar{z}, \\ \bar{V}(\bar{z}, \bar{y}) &= \bar{y} \left(2,1 \text{ch}\bar{z} - A \int_0^{\bar{z}} e^{\frac{2,1 \text{ch}\xi}{\varepsilon}} d\xi - 2,1 \right) \end{aligned} \right\} \quad (5.29)$$

В соответствии с полученными решениями (5.29) построим графики поперечной и продольной скоростей, которые представлены на рис.5.3,5.4.

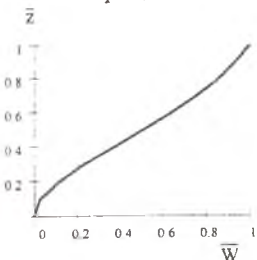


Рис.5.3. Безразмерное распределение поперечной скорости по высоте канала

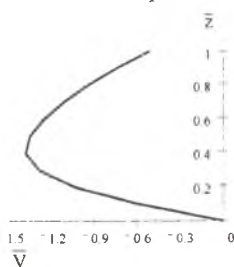


Рис. 5.4. Безразмерное распределение продольной скорости по высоте канала при $\bar{y} = 1$

Из графиков видно, что в окрестности точки $\bar{z} = 0$ располагается пограничный слой. График для продольной скорости (рис.5.4) показывает, что внешний поток газа препятствует течению, верхние слои жидкости в канавке испытывают торможение от встречного потока газа. Знак «-» у продольной скорости означает, что направление потока жидкости в канавке противоположно оси y .

2. Рассмотрим случай, когда внешнее решение задачи соответствует функции $x_1 = C_1 \bar{z}$.

Тогда интеграл уравнения (5.23) запишем в виде $U_3 = Ae^{\frac{C_1 z}{\tau}}$, и выражения для пограничных функций примут следующий вид:

$$\begin{aligned} U_3 &= Ae^{\frac{C_1 z}{\tau}}, \\ U_2 &= A \int_0^z e^{\frac{C_1 \xi}{\tau}} d\xi + B, \\ U_1 &= A \int_0^z \int_0^\xi e^{\frac{C_1 \xi}{\tau}} d\xi d\xi + Bz + D, \end{aligned}$$

и общее решение краевой задачи запишем как

$$\left. \begin{aligned} x_1 &= (C_1 + B)\bar{z} + D + A \int_0^z \int_0^\xi e^{\frac{C_1 \xi}{\tau}} d\xi d\xi, \\ x_2 &= (C_1 + B) + A \int_0^z e^{\frac{C_1 \xi}{\tau}} d\xi, \\ x_3 &= Ae^{\frac{C_1 z}{\tau}}. \end{aligned} \right\} \quad (5.30)$$

Удовлетворяя граничным условиям, получим выражения для констант интегрирования

$$D = 0, \quad C_1 + B = 0, \quad Ae^{\frac{C_1}{\tau}} = \bar{\tau}, \quad A \int_0^1 \int_0^\xi e^{\frac{C_1 \xi}{\tau}} d\xi d\xi = 1. \quad (5.31)$$

Решение системы (5.27) для $\bar{\tau} \neq 0$ отсутствует. Поэтому будем искать решение для канавки, изолированной от внешнего потока, при $\bar{\tau} = 0$. Тогда (5.31) перепишем в виде

$$D = 0, \quad C_1 + B = 0, \quad Ae^{\frac{c_1}{2c}} = 0, \quad A \int_0^1 \int_0^1 e^{\frac{c_1 \xi^2}{2c}} d\xi d\zeta = 1.$$

Выполнение граничного условия $x_3(1) = 0$ достигается с точностью до экспоненциально малых величин для всех $C_1 \leq -1$. Численное решение при $\epsilon = 0,01$ дает значения констант интегрирования

$$C_1 = -1,7; \quad B = 1,7; \quad A = 4,08 \quad \text{при} \quad k = 2,89. \quad (5.32)$$

Запишем выражения для поля скоростей для течения жидкости с отсосом массы в прямоугольной изолированной канавке

$$\left. \begin{aligned} \bar{W}(\bar{z}) &= 4,08 \int_0^{\bar{z}} \int_0^1 e^{-0,85 \frac{\xi^2}{c}} d\xi d\zeta, \\ \bar{V}(\bar{z}, \bar{y}) &= -4,08 \bar{y} \int_0^{\bar{z}} e^{-0,85 \frac{\xi^2}{c}} d\xi. \end{aligned} \right\} \quad (5.33)$$

В соответствии с формулами (5.33) построим эпюры продольной и поперечной скоростей (рис.5.5,5.6).

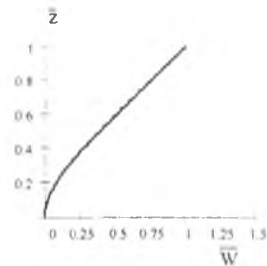


Рис.5.5. Безразмерное распределение поперечной скорости по высоте канала

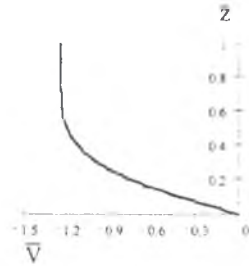


Рис. 5.6. Безразмерное распределение продольной скорости по высоте канала при $\bar{y} = 1$

Из графиков видно, что в окрестности точки $\bar{z} = 0$ располагается пограничный слой. Касательная в точке $\bar{z} = 1$ на графике функции $\bar{V}(\bar{z})$ (рис.5.6) составляет с осью \bar{z} угол $\alpha = 0$, что соответствует максимальной продольной скорости на поверхности жидкости в прямоугольной канавке при отсутствии контакта между жидкостью и газом. Знак «-» у продольной скорости означает, что направление потока жидкости в канавке противоположно оси y .

3. Рассмотрим случай, когда внешнее решение задачи соответствует функции $x_1 = C_1 \sin \frac{\pi}{2} z$.

Тогда интеграл уравнения (5.23) запишем в виде $U_3 = Ae^{-\frac{C_1 \sin \frac{\pi}{2} z}{\tau}}$, и выражения для пограничных функций примут вид

$$\left. \begin{aligned} U_3 &= Ae^{-\frac{2C_1}{\pi} \cos^2 \frac{\pi}{2} z}, \\ U_2 &= A \int_0^z e^{-\frac{2C_1}{\pi} \cos^2 \frac{\pi}{2} \xi} d\xi + B, \\ U_1 &= A \int_0^z \int_0^\xi e^{-\frac{2C_1}{\pi} \cos^2 \frac{\pi}{2} \zeta} d\xi d\zeta + Bz + D. \end{aligned} \right\} \quad (5.34)$$

Запишем общее решение задачи с учетом пограничных функций

$$\left. \begin{aligned} x_1 &= C_1 \sin \frac{\pi}{2} z + A \int_0^z \int_0^\xi e^{-\frac{2C_1}{\pi} \cos^2 \frac{\pi}{2} \zeta} d\xi d\zeta + Bz + D, \\ x_2 &= \frac{C_1 \pi}{2} \cos \frac{\pi}{2} z + A \int_0^z e^{-\frac{2C_1}{\pi} \cos^2 \frac{\pi}{2} \xi} d\xi + B, \\ x_3 &= -\frac{C_1 \pi^2}{4} \sin \frac{\pi}{2} z + Ae^{-\frac{2C_1}{\pi} \cos^2 \frac{\pi}{2} z}. \end{aligned} \right\} \quad (5.35)$$

Удовлетворяя граничным условиям задачи, получим соотношения для констант интегрирования

$$\begin{aligned} D = 0, \quad B = -\frac{\pi}{2} C_1, \quad A = \tau + \frac{\pi^2}{4} C_1, \\ C_1 \left(1 - \frac{\pi}{2} \right) + A \int_0^1 \int_0^\xi e^{-\frac{2C_1}{\pi} \cos^2 \frac{\pi}{2} \zeta} d\xi d\zeta = 1 \end{aligned} \quad \text{при } k = \frac{C_1^2 \pi^2}{4}.$$

При $\epsilon = 0,01$ и $\tau = \frac{\pi^2}{4}$ получены значения коэффициентов для течения жидкости в прямоугольной канавке при взаимодействии со спутным потоком газа

$$B = \frac{\pi}{2}; \quad C_1 = -1; \quad k = \frac{\pi^2}{4}; \quad A \int_0^1 \int_0^\xi e^{-\frac{2}{\pi} \cos^2 \frac{\pi}{2} \zeta} d\xi d\zeta = 2 - \frac{\pi}{2}. \quad (5.36)$$

Запишем выражения для поля скоростей для течения жидкости с отсосом массы

$$\left. \begin{aligned} \bar{W}(\bar{z}) &= -\sin \frac{\pi}{2} \bar{z} + A \int_0^{\bar{z}} \int_0^{\xi} e^{\frac{2}{\pi} \cos \frac{\pi}{2} \xi} d\xi d\xi + \frac{\pi}{2} \bar{z}, \\ \bar{V}(\bar{z}, \bar{y}) &= \bar{y} \left(\frac{\pi}{2} \cos \frac{\pi}{2} \bar{z} - A \int_0^{\bar{z}} e^{\frac{2}{\pi} \cos \frac{\pi}{2} \xi} d\xi - \frac{\pi}{2} \right), \end{aligned} \right\} \quad (5.37)$$

где A вычисляется по (5.36).

Построим эпюры для поперечной и продольной скоростей в соответствии с формулами (5.37). Графики поперечной и продольной скоростей представлены на рис.5.7, 5.8.

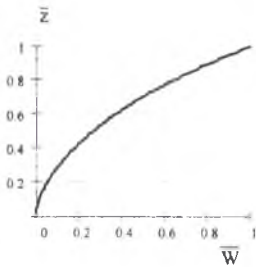


Рис. 5.7. Безразмерное распределение поперечной скорости по высоте канала

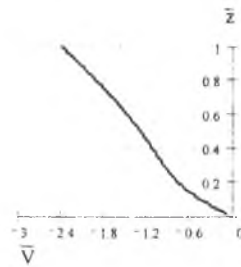


Рис. 5.8. Безразмерное распределение продольной скорости по высоте канала при $\bar{y} = 1$

Из графиков видно, что в окрестности точки $\bar{z} = 0$ располагается пограничный слой. График для продольной скорости (рис.5.8) показывает, что внешний поток газа способствует течению жидкости, верхние слои жидкости в канавке разгоняются от спутного потока газа. Знак «-» у продольной скорости означает, что направление потока жидкости в канавке противоположно оси y .

В заключение отметим, что рассмотренные в данном учебном пособии асимптотические методы решения сингулярно-возмущенных дифференциальных уравнений позволяют получать приближенные аналитические решения для широкого круга гидродинамических задач с пограничным слоем.

Библиографический список

1. Лойцянский Л.Г. Механика жидкости и газа.- М.: Наука, 1973.- 847с.
2. Найф А.Х. Введение в методы возмущения.- М.: Мир, 1989.-535с.
3. Ивановский М.Н., Сорокин В.П., Ягодкин И.В. Физические основы тепловых труб.- М.: Атомиздат, 1978.- 256с.
4. Дан П.Д., Рей Д.А. Тепловые трубы. - М.: Энергия, 1979.- 272с.
5. Клюев Н.И. Математическое моделирование процессов взаимодействия жидких и газообразных сред.-Самара: СамГУ, 2000.-48с.
6. Клюев Н.И. Течение жидкости в открытой прямоугольной канавке испарителя тепловой трубы с учетом влияния встречного потока пара. ИВУЗ «Авиационная техника». - 1995. №3.- С. 100-102.
7. Клюев Н.И. Движение пара в прямоугольном канале испарительного теплообменника. ИВУЗ «Авиационная техника».- 1988. №2.- С. 96-98.
8. Клюев Н.И. Течение жидкости в открытом прямоугольном канале с отсосом массы и взаимодействии с внешним газовым потоком. Труды VIII межвузовской конференции «Математическое моделирование и краевые задачи». - Самара: СамГТУ, 1998.- С. 48-51.
9. Клюев Н.И. Движение газа со вдувом массы в цилиндрическом канале при больших числах Рейнольдса вдуваемого потока. ИВУЗ «Авиационная техника». - 1995. №1.- С. 43-46.
10. Клюев Н.И, Федечев А.Ф. Течение пара в зоне испарения плоской тепловой трубы при больших поперечных числах Рейнольдса. ИФЖ.- 1989. Т.57. №2. - С. 333-334.
11. Гольдштейн В.М., Соболев В.А. Качественный анализ сингулярно- возмущенных систем. Новосибирск: АН СССР. Сибирское отделение. Институт математики. 1988.- 153с.